

(19) 日本国特許庁(JP)

(12) 特 許 公 報(B2)

(11) 特許番号

特許第5819543号
(P5819543)

(45) 発行日 平成27年11月24日(2015.11.24)

(24) 登録日 平成27年10月9日(2015.10.9)

(51) Int.Cl.		F I			
HO4L 12/70	(2013.01)	HO4L 12/70	100Z		
HO4L 12/24	(2006.01)	HO4L 12/24			
GO6F 11/34	(2006.01)	GO6F 11/34	S		
HO4L 12/717	(2013.01)	HO4L 12/717			

請求項の数 20 (全 14 頁)

(21) 出願番号	特願2014-550553 (P2014-550553)	(73) 特許権者	504080663
(86) (22) 出願日	平成25年1月9日(2013.1.9)		エヌイーシー ラボラトリーズ アメリカ
(65) 公表番号	特表2015-509316 (P2015-509316A)		インク
(43) 公表日	平成27年3月26日(2015.3.26)		NEC Laboratories Am
(86) 国際出願番号	PCT/US2013/020795		erica, Inc.
(87) 国際公開番号	W02013/112288		アメリカ合衆国 08540 ニュージャ
(87) 国際公開日	平成25年8月1日(2013.8.1)		ージー州 プリンストン スイート 20
審査請求日	平成26年6月30日(2014.6.30)		0 インディペンデンス ウェイ 4
(31) 優先権主張番号	61/590,042	(74) 代理人	100123788
(32) 優先日	平成24年1月24日(2012.1.24)		弁理士 宮崎 昭夫
(33) 優先権主張国	米国 (US)	(74) 代理人	100127454
(31) 優先権主張番号	13/736,158		弁理士 緒方 雅昭
(32) 優先日	平成25年1月8日(2013.1.8)		
(33) 優先権主張国	米国 (US)		

最終頁に続く

(54) 【発明の名称】 ネットワークデバッグング

(57) 【特許請求の範囲】

【請求項 1】

ネットワーク内のデータセンターで使用されるデバッグングシステムであって、
 ネットワークコントローラーからトラフィック情報を収集することによって、ネットワ
 ークトラフィックをモニターするモニタリングエンジンと、
 モニターされたログを使用して、アプリケーションシグネチャー、インフラストラク
 チャーシグネチャー、およびタスクシグネチャーをモデリングするモデリングエンジンと、
 参照ログおよび問題ログを使用して、動作状態と非動作状態との間での前記アプリケー
 ションシグネチャーの変化を検出し、前記タスクシグネチャーを使用して、前記変化を検
 証するデバッグングエンジンと、
 トラブルシューティング情報を提供する提供部と、を有し、
 前記アプリケーションシグネチャーの未知の変化は、前記インフラストラクチャーシグ
 ネチャーの変化に対する依存性を考慮することによって、既知の問題クラスと相関付けら
 れる、デバッグングシステム。

【請求項 2】

請求項 1 に記載のデバッグングシステムであって、
 前記ネットワークは OpenFlow ネットワークを有し、前記トラフィック情報は P
 a c k e t I n メッセージおよび P a c k e t O u t メッセージの少なくとも 1 つを通し
 て収集される、デバッグングシステム。

【請求項 3】

請求項 2 に記載のデバッグシステムであって、

前記アプリケーションシグネチャーは、連結グラフ (CG)、遅延分布 (DD)、要素相互作用 (CI)、編相関 (PC)、およびフロー統計 (FS) の少なくとも 1 つによってモデリングされる、デバッグシステム。

【請求項 4】

請求項 3 に記載のデバッグシステムであって、

前記デバッグエンジンは、Packet In メッセージまたは TCP (Transmission Control Protocol) パケットの IP ヘッダに含まれる、送信元および宛先 IP (Internet Protocol) データを使用することによって、どのアプリケーションノードが伝達し、どのアプリケーションノードに伝達されたかを検出し、アプリケーショングループの各々について前記連結グラフ (CG) を生成する、デバッグシステム。

10

【請求項 5】

請求項 3 に記載のデバッグシステムであって、

前記アプリケーションシグネチャーは、前記遅延分布 (DD) のピークを有し、前記デバッグエンジンは、前記ピークのシフトまたは消失を検出する、デバッグシステム。

【請求項 6】

請求項 3 に記載のデバッグシステムであって、

前記デバッグエンジンは、前記連結グラフ (CG) におけるノードでの前記要素相互作用 (CI) を、前記ノードの入力および出力エッジの各々でのフロー量を使用することによって測定する、デバッグシステム。

20

【請求項 7】

請求項 3 に記載のデバッグシステムであって、

ロギング間隔は、等間隔なエポック間隔に分割され、

前記デバッグエンジンは、エポック間隔の各々での Packet In メッセージを使用することによって、前記連結グラフ (CG) における隣接する 2 つのエッジの各々についてのフロー数を測定し、ピアソンの係数を使用することによって、時系列データ上の前記編相関 (PC) を計算する、デバッグシステム。

【請求項 8】

請求項 3 に記載のデバッグシステムであって、

前記デバッグエンジンは、アプリケーションノードのアプリケーションエッジでのアプリケーションフローの統計値を測定する、デバッグシステム。

30

【請求項 9】

請求項 8 に記載のデバッグシステムであって、

前記統計値は、単位時間当たりのフロー数およびフローサイズの少なくとも 1 つを含む、デバッグシステム。

【請求項 10】

請求項 8 に記載のデバッグシステムであって、

前記デバッグエンジンは、前記統計値の最大値、最小値、および平均値を保存する、デバッグシステム。

40

【請求項 11】

請求項 3 に記載のデバッグシステムであって、

前記デバッグエンジンは、前記モニターされたログを複数の時間間隔で区切り、前記複数の時間間隔について前記アプリケーションシグネチャーを計算し、

前記デバッグエンジンは、アプリケーショングループについての前記アプリケーションシグネチャーが、前記複数の時間間隔にわたって実質的に変化していない場合、前記アプリケーションシグネチャーが安定したシグネチャーであると決定する、デバッグシステム。

【請求項 12】

請求項 2 に記載のデバッグシステムであって、

50

前記インフラストラクチャーシグネチャーは、物理トポロジ、インタースイッチレイテンシー、およびOpenFlowコントローラー特性の少なくとも1つによってモデリングされる、デバッグシステム。

【請求項13】

請求項12に記載のデバッグシステムであって、

前記物理トポロジは、物理トポロジマップを有し、

前記デバッグエンジンは、前記PacketInメッセージおよび前記PacketOutメッセージを基に、前記物理トポロジマップを生成する、デバッグシステム。

【請求項14】

請求項12に記載のデバッグシステムであって、

前記インタースイッチレイテンシーは、2つのネットワークスイッチ間の遅延を有し、

前記デバッグエンジンは、前記PacketInメッセージのタイムスタンプを使用することによって、前記インタースイッチレイテンシーを計算し、

前記PacketInメッセージは、エントリーに一致しないフローに対する応答として前記2つのネットワークスイッチの各々から送信され、前記ネットワークコントローラーにて前記タイムスタンプの時刻に受信される、デバッグシステム。

【請求項15】

請求項12に記載のデバッグシステムであって、

前記OpenFlowコントローラー特性は、コントローラー応答時間を有し、

前記デバッグエンジンは、前記PacketInメッセージのタイムスタンプと前記PacketOutメッセージのタイムスタンプとの間の差分を使用することによって、前記コントローラー応答時間を測定し、

前記PacketOutメッセージは、前記PacketInメッセージに対する応答として前記ネットワークコントローラーから送信される、デバッグシステム。

【請求項16】

請求項2に記載のデバッグシステムであって、

前記タスクシグネチャーは、タスクオートマトンを有し、該タスクオートマトンは、

タスクについての複数のトレースを収集することと、

前記複数のトレースにわたって1つ以上の共通のフローパターンを見つけることと、

前記複数のトレースにおける前記1つ以上の共通のフローパターンを保存することと、
前記1つ以上の共通のフローパターンにおける1つ以上のシーケンシャルな頻出パターンを見つけることと、

前記1つ以上のシーケンシャルな頻出パターンを長さでソートすることと、

タスクオートマトンを構築することと、

によって得られる、デバッグシステム。

【請求項17】

請求項2に記載のデバッグシステムであって、

前記変化は、前記タスクシグネチャーを使用することによって、アプリケーション層およびインフラストラクチャー層における、前記未知の変化または既知の変化に分類される、デバッグシステム。

【請求項18】

請求項2に記載のデバッグシステムであって、

前記関連付けは、

前記インフラストラクチャーシグネチャーの変化を計算することと、

前記アプリケーションシグネチャーの未知の変化を、前記インフラストラクチャーシグネチャーの変化に関連付けることと、

予め定義されたマッピングテーブルを参照して、前記既知の問題クラスを得ることと、

によって実行される、デバッグシステム。

【請求項19】

10

20

30

40

50

請求項 2 に記載のデバッグシステムであって、
 前記デバッグエンジンは、
 アプリケーションレベルのフローを下層の物理リンクのシーケンスにマッピングするリンクテーブルと、
 前記アプリケーションレベルのフローをスイッチのシーケンスにマッピングするスイッチテーブルと、
 アプリケーションプロセスを物理ホストにマッピングする物理マシン (P M) テーブルと、
 のうちの 1 つ以上を使用することによって、前記未知の変化をシステム要素に関連付ける、デバッグシステム。

10

【請求項 2 0】

ネットワーク内のデータセンターで使用されるデバッグ方法であって、
 ネットワークコントローラーからトラフィック情報を収集することによって、ネットワークトラフィックをモニターすることと、
 モニターされたログを使用して、アプリケーションシグネチャー、インフラストラクチャーシグネチャー、およびタスクシグネチャーをモデリングすることと、
 参照ログおよび問題ログを使用して、動作状態と非動作状態との間での前記アプリケーションシグネチャーの変化を検出することと、
 前記タスクシグネチャーを使用して、前記変化を検証することと、
 トラブルシューティング情報を提供することと、を有し、
 前記アプリケーションシグネチャーの未知の変化は、前記インフラストラクチャーシグネチャーの変化に対する依存性を考慮することによって、既知の問題クラスと関連付けられる、デバッグ方法。

20

【発明の詳細な説明】

【技術分野】

【0 0 0 1】

本願は、2 0 1 2 年 1 月 2 4 日付で提出された「OFDiff:A Debugging Tool for OpenFlow Based Data Center」という題目の米国仮出願第 6 1 / 5 9 0 0 4 2 号の利益を主張し、その内容を参照によって本明細書に組み込む。本願は、米国特許出願第 1 3 / 5 5 4 6 3 2 号および米国特許出願第 1 3 / 5 5 6 9 3 0 号に関連し、それら両者の内容を参照によって本明細書に組み込む。

30

【背景技術】

【0 0 0 2】

本発明は、ネットワークデバッグに関連し、特に、データセンター用のネットワークデバッグに関連する。

【0 0 0 3】

現代のデータセンターは、非常に大きく、数千台のサーバやネットワーク要素 (network components) が並んでいる。それらは全て、オンデマンドリソースのプロビジョニングおよび 2 4 x 7 システムの利用可能性 (availability) をユーザに要求するが、複雑で大規模なインフラストラクチャーにおいては、全てのハードウェアおよびソフトウェアの障害をなくすことは非常に困難である。最近は、障害によってサービスが利用不可になることや、効率的なデバッグの不足によってビジネスが重大な商業的損失を受けることも多くなっている。実際、大規模なデータセンターにおいては、障害およびミスコンフィグレーションに対する効率的なデバッグを行うことは非常に困難である。アプリケーションは、アプリケーション同士で相互に作用するだけでなく、様々な形でインフラストラクチャーサービスにも作用する。さらに、アプリケーション層とインフラストラクチャー層との間には、視認性を制限する制限ライン (strict line) が存在し、それによって、データセンターのオペレーターは、いかなるデバッグ目的であっても、アプリケーションの内部を見るのが制限される。現在のところ、データセンターにおいて、オペレーターが、管理オペレーションの成功を検証する簡単な方法は存在しない。そのため、デ

40

50

ータセンターに広められる効果的なデバッグは、コンピュータサイエンスにおいて、未だオープンな研究分野 (open research area) になっている。

【 0 0 0 4 】

既存の商業的または専門的な解決法 (非特許文献 1, 2, 5, 6) は、人々が、特定のサーバ上の事象 (issues)、または、(エージェントのような) 領域知識 (domain knowledge) あるいは統計技術を使用してプロセスの診断を試行するという、マイクロスコピック的なアプローチを取っている。データセンターに広まっている、粗野 (coarse-grained) でライトウェイト (light-weight) なモニタリングを使用するデバッグには、課題 (challenge) が残っている。先の技術は、アプリケーション依存性グラフ (application dependency graph) ごとに抽出 (extracting) を行うことにフォーカスし (多くの場合、ネットワークフローの同時並列性 (concurrency) または遅延特性 (delay properties) を使用する)、それを診断目的で使用している。商業的解決法は、エージェントにアプリケーションプロトコルおよびアプリケーションコンフィグレーションファイルの意味的知識 (semantic knowledge) をインストールすることを要求する、企業管理の解決法に依存している。成果は継続されており、モデルチェック (model checking) は分散状態 (distributed states) に適用されている。さらに、人々は、リクエストをトレース (tracing) する (非特許文献 3) ための計測 (instrumentation)、記録の使用、分散システムロギング (非特許文献 4) やネットワークトラフィック (非特許文献 7) を使用する応答を試行する。現在のアプローチは、実際に配置可能なもの (deployable) からは懸け離れている。典型的には、それらの解決法は、大量のオーバーヘッドを引き起こす、多くの計測 (heavy instrumentation) を要求する。また、商業的なクラウドは、計測についての追加の問題を引き起こすヘテロジニアスである。要約すると、煩わしいモニタリング、配置 (deployment) 時におけるスケラビリティな事象、ネットワークオーバーヘッド、および非効率的なデータ利用可能性は、データセンターのデバッグにおける課題の一部となっている。

【 0 0 0 5 】

OFDiff は、ユニークなアングルから問題にアプローチし、コントロールプレーンでのメッセージ交換によって作られる OpenFlow のモニタリング能力の効果を得るものである。基本的には、OFDiff は、デバッグ目的で、OpenFlow コントローラーからネットワークトラフィックをキャプチャーする。デバッグは、動作状態および非動作状態 (working and non-working states) のログを使用することによって行われる。それらを比較するため、OFDiff は、対応するロギング期間のデータセンターのアプリケーションレベルおよびインフラストラクチャーレベルの挙動 (behavior) をモデリングする。オペレーショナルタスクを使用するに際しては、それらのログからキャプチャーされるアプリケーションシグネチャーの如何なる変化 (例えば、連結グラフ (connectivity graph) の差分、または、アプリケーション応答時間の変化) も考慮される。また、オペレーショナルタスクは、先の既知のタスクのパターン (このパターンは OpenFlow トラフィックログからオフラインで学習される) に対するパターンマッチングアルゴリズムを使用するトラフィックログから識別される。アプリケーション層の変化 (この変化は OFDiff で検出される) は、既知のオペレーショナルタスクに起因すると考えることはできず、データセンターでの問題クラス (problem class) を識別するインフラストラクチャーレベルの変化に相関付けられる。最終的に、問題クラスを、さらなるトラブルシューティングの目的で、システム要素 (system component) と相関付ける。

【 先行技術文献 】

【 非特許文献 】

【 0 0 0 6 】

【 非特許文献 1 】 P. Bahl, R. Chandra, A. Greenberg, S. Kandual, D. Maltz, and M. Zhang, "Towards highly reliable enterprise network services via inference of multi-level dependencies," in Proc. SIGCOMM' 07, Aug. 2007, pp. 13-24.

10

20

30

40

50

【 0 0 0 7 】

【非特許文献2】X. Chen, M. Zhang, Z. Morley, and M. P. Bahl, "Automating Network Application Dependency Discovery: Experiences, Limitations, and New Solutions," in Proc. of OSDI, 2008.

【 0 0 0 8 】

【非特許文献3】R. Fonseca, G. Porter, R. H. Katz, S. Shenker, and I. Stoica, "X-Trace: A Pervasive Network Tracing Framework," in Proc. USENIX NSDI, Cambridge, MA, USA, 2007.

【 0 0 0 9 】

【非特許文献4】D. Geels, G. Altekari, S. Shenker, and I. Stoica, "Replay debugging for distributed applications," in Proc. Proceedings of the annual conference on USENIX' 06 Annual Technical Conference. 10

【 0 0 1 0 】

【非特許文献5】S. Kandula, R. Mahajan, P. Verkaik, S. Agarwal, J. Padhye, and P. Bahl, "Detailed diagnosis in enterprise networks." in Proc. SIGCOMM, 2009.

【 0 0 1 1 】

【非特許文献6】L. Popa, B.-G. Chun, I. Stoica, J. Chandrashekar, and N. Taft, "Macroscopic: End-Point Approach to Networked Application Dependency Discovery," in Proc. ACM CoNEXT, 2009.

【 0 0 1 2 】

【非特許文献7】A. Wundsam, D. Levin, S. Seetharaman, and A. Feldmann, "OFRewind: Enabling Record and Replay Troubleshooting for Networks," in Proc. Proceedings of Usenix ATC 2011. 20

【発明の概要】

【発明が解決しようとする課題】

【 0 0 1 3 】

OFDiffは、OpenFlowのユニークなメッセージメカニズムからの利用可能なログを使用することによって、データセンターが非常に高いデバッグ能力を備えることを提案(offer)する。

【 0 0 1 4 】

本発明の目的は、ネットワーク内のシステム状況認識(system situation awareness)の達成およびデータセンターのようなシステムにおけるトラブルシューティング(またはデバッグ)に貢献することにある。 30

【課題を解決するための手段】

【 0 0 1 5 】

本発明の一態様は、ネットワーク内のデータセンターで使用されるデバッグシステムにおいて、ネットワークコントローラーからトラフィック情報を収集(collect)することによって、ネットワークトラフィックをモニターするモニタリングエンジンと、モニターされたログを使用して、アプリケーションシグネチャー(application signature)、インフラストラクチャーシグネチャー(infrastructure signature)、およびタスクシグネチャー(task signature)をモデリングするモデリングエンジンと、参照ログ(reference log)および問題ログ(problem log)を使用して、動作状態(working status)と非動作状態(non-working status)との間での前記アプリケーションシグネチャーの変化を検出し、前記タスクシグネチャーを使用して、前記変化を検証するデバッグエンジンと、トラブルシューティング情報を提供する提供部と、を有し、前記アプリケーションシグネチャーの未知の変化は、前記インフラストラクチャーシグネチャーの変化に対する依存性(dependency)を考慮することによって、既知の問題クラス(problem class)と 40
 関連付けられる。

【 0 0 1 6 】

本発明の他の態様は、ネットワーク内のデータセンターで使用されるデバッグ方法 50

において、ネットワークコントローラーからトラフィック情報を収集 (collect) することによって、ネットワークトラフィックをモニターすることと、モニターされたログを使用して、アプリケーションシグネチャー (application signature)、インフラストラクチャーシグネチャー (infrastructure signature)、およびタスクシグネチャー (task signature) をモデリングすることと、参照ログ (reference log) および問題ログ (problem log) を使用して、動作状態 (working status) と非動作状態 (non-working status) との間での前記アプリケーションシグネチャーの変化を検出することと、前記タスクシグネチャーを使用して、前記変化を検証することと、トラブルシューティング情報を提供することと、を有し、前記アプリケーションシグネチャーの未知の変化は、前記インフラストラクチャーシグネチャーの変化に対する依存性 (dependency) を考慮することによって、既知の問題クラス (problem class) と関連付けられる。

10

【図面の簡単な説明】

【0017】

【図1】図1は、システム構成を示している。

【0018】

【図2】図2は、システム構成がマッピング (mapped) されるフローチャートを示している。

【0019】

【図3】図3は、手順1.3における要素相互作用 (C I (component interaction)) を示している。

20

【0020】

【図4】図4は、手順1.6のフローチャートを示している。

【0021】

【図5】図5は、手順2のフローチャートを示している。

【0022】

【図6】図6は、手順3のフローチャートを示している。

【0023】

【図7】図7は、手順4のフローチャートを示している。

【0024】

【図8】図8は、手順5.1のフローチャートを示している。

30

【0025】

【図9】図9は、手順5.2のフローチャートを示している。

【発明を実施するための形態】

【0026】

システム構成：

【0027】

図1に示されるように、OpenFlowは、ステップ102において、OpenFlowコントローラーのPacketInメッセージおよびPacketOutメッセージから、トラフィック情報を収集 (collect) する。スイッチでは、その他のアクティブトラフィックモニタリングプロトコルを使用することもできる。このシステムは、モニタリング102、モデリング104、およびデバッグ106という3つの主要な要素を有している。上述したように、モニタリングエンジンは、ステップ102において、トラフィック情報を収集する。モデリングエンジンは、ステップ104において、モニターされたログを使用して、データセンターのアプリケーションシグネチャー (108)、インフラストラクチャーシグネチャー (110)、およびタスクシグネチャー (112) をモデリングする。ステップ106に関して、デバッグエンジンは、最初に、ステップ114において、参照ログ (reference log) および問題ログ (problem log) を使用して、動作状態と非動作状態 (working and non-working states) との間でのアプリケーションシグネチャーの差分をそれぞれ見つける。それから、ステップ116において、タスクシグネチャーを使用することによって、その変化を検証する。ステップ118において、未知の変

40

50

化は、インフラストラクチャーシグネチャーの変化に対する依存性 (dependencies) を考慮することによって、既知の問題クラス (problem class) と関連付けられる。ステップ 120 において、クラス特有の相関性調査 (class specific correlation enquiry) を使用して、問題または欠陥があるシステム要素を最終的に見つける。

【0028】

上記のシステム構成は、図2にマッピングすることができる。OFDiffは、OpenFlowコントローラー(不図示)から、参照ログ204および問題ログ206を収集する。OFDiffは、ブロック208において、通常の挙動(normal behavior。例えば、連結グラフ(connectivity graph)、遅延分布(delay distribution)、要素相互作用(component interaction)、編相関(partial correlation)、およびフロー統計(flow statistics))の下でのアプリケーションシグネチャーをモデリングするために、参照ログ204を構文解析する。また、OFDiffは、ブロック210において、疑わしい挙動(suspicious behavior)の下でのアプリケーションシグネチャーをモデリングするために、問題ログ206を構文解析する。それから、OFDiffは、ブロック216において、2つのログのシグネチャーを比較する。既知のオペレータータスク214のタスクシーケンスを使用して、OFDiffは、参照ログと問題ログとの間の変化を、既知の変化218(この変化は、例えば、既知のオペレータータスクに起因する)または未知の変化220として識別する。さらに、OFDiffは、フローから抽出されたインフラストラクチャーシグネチャー212を使用して、未知の変化を分析し、トラブルシューティング情報222をオペレーターに提供する。

【0029】

手順1: アプリケーションシグネチャーのモデリング

【0030】

アプリケーションシグネチャーのモデリングのゴールは、データセンター内部で起動されているアプリケーションの挙動をキャプチャーすることである。空間的、一時的、および大規模なアプリケーション(the spatial, temporal, volume dimension of applications)をカバーするために、OFDiffは、例えば、手順1.1の連結グラフ(CG: Connectivity Graph)、手順1.2の遅延分布(DD: Delay Distribution)、手順1.3の要素相互作用(CI: component interaction)、手順1.4の編相関(PC: Partial Correlation)、および手順1.5のフロー統計(FS: Flow Statistics)の観点で(in terms of)、アプリケーションシグネチャーをモデリングする。以下、各手順について詳細に述べる。

【0031】

手順1.1: 連結グラフ(CG)

【0032】

Packet InメッセージまたはTCP(Transmission Control Protocol)パケット内のIP(Internet Protocol)ヘッダに現れる(comes)、送信元および宛先IPメタデータを使用して、OFDiffは、誰(どのアプリケーションノード)が誰に伝達(talking)したかを検出する。連結グラフまたはCGは、各アプリケーショングループについて作られる。

【0033】

手順1.2: 遅延分布(DD)

【0034】

OFDiffは、遅延分布のピークをアプリケーションシグネチャーとして使用して、データセンターの異常(例えば、ノードの過負荷、リンクの輻輳など)に起因する、ピークのシフトまたはそれらピークの消失を検出してゴールに向かう。

【0035】

手順1.3: 要素相互作用(CI)

【0036】

図3に示されるように、CGにおいて、各ノード302, 304, 306, 308, ま

10

20

30

40

50

たは 3 1 0 での要素の相互作用または C I を測定するために、O F D i f f は、ノード 3 0 6 の入力エッジ 3 1 2 および出力エッジ 3 1 4 の各々でのフロー量 (flow volume) を使用する。その値は、そのノードへのおよびそのノードからの通信の総数 (total number) で正規化 (nomalized) され、ヒストグラム 3 1 6 を使用して表される。

【 0 0 3 7 】

手順 1 . 4 : 編相関 (P C)

【 0 0 3 8 】

遅延分布は、依存的なフローおよびそれらフローの遅延限度 (delay bound) をキャプチャーするが、その依存性の強さはまだ未知である。それを測定するために、フロー量の統計を使用して、連結グラフにおける隣接エッジ間の編相関を使用する。ロギング間隔 (interval) は、等間隔 (equal spaced) なエポック間隔に分割される。各エポック間隔での P a c k e t I n メッセージを使用して、O F D i f f は、C G において、各エッジについて、フロー数 (flow count) を測定する。それから、時系列データ上での相関を計算するために、ピアソンの係数 (Pearson's coefficient) を使用する。

10

【 0 0 3 9 】

手順 1 . 5 : フロー統計 (F S)

【 0 0 4 0 】

コントローラーのログを使用して、アプリケーションノードと同様に、各アプリケーションエッジでのアプリケーションフローの統計値を測定する。この統計測定は、単位時間当たりのフロー数およびフローサイズ (flow size) を含む。統計値は、時間に依存するため (例えば、幾つかのアプリケーションは夜間よりも昼間の方が多く使用される)、各ケースについて、最大値、最小値、および平均値を、保持または保存する。

20

【 0 0 4 1 】

手順 1 . 6 : シグネチャーの安定性 (stability)

【 0 0 4 2 】

しかし、幾つかのアプリケーショングループでは、シグネチャーの幾つかは安定 (stable) なものではなく、例えば、アプリケーションノードが、出力フローにわたる、如何なる線形決定ロジック (any linear decision logic across its outgoing flows) も使用しない場合、要素の相互作用のシグネチャーが不安定 (unstable) になり、2つの独立したフロー間の遅延分布または編相関を測定する際には同様の不安定性 (instability) が見つかることになる。デバッグングフラグを立てる時に、誤判定を回避するための比較目的で使用されるアプリケーションシグネチャーには、不安定なシグネチャーは使用されない。そのため、図 4 のフローチャートは、各アプリケーションシグネチャーについて実行される。ステップ 4 0 2 において、アプリケーションの挙動を計算するために参照ログが与えられると、O F D i f f は、安定なアプリケーションシグネチャーのみを考慮する。シグネチャーの安定性を検出するために、O F D i f f は、ステップ 4 0 4 において、ログを数個の時間間隔 (time intervals) に区切り、ステップ 4 0 6 において、全間隔についてのアプリケーションシグネチャーを計算する。もし、ステップ 4 0 8 において、あるアプリケーショングループについてのシグネチャーが、全パーティションにわたって、大きく (significantly) 変化していない場合、ステップ 4 1 0 において、そのアプリケーショングループについてのシグネチャーは安定したシグネチャーであると考慮される。もし、ステップ 4 0 8 において、そのシグネチャーが実質的 (substantially) に変化している場合、O F D i f f は、ステップ 4 1 2 において、そのシグネチャーは不安定なものとして廃棄する。

30

40

【 0 0 4 3 】

手順 2 : インフラストラクチャーシグネチャーのモデリング

【 0 0 4 4 】

図 5 を参照すると、インフラストラクチャーシグネチャーのゴールは、ステップ 5 0 2 でキャプチャーされたログを使用して、ステップ 5 0 4 において、物理インフラストラクチャーに特徴付けることである。物理インフラストラクチャーは、異なる物理要素 (スイ

50

ッチ、ルータ、および物理ホスト)を有している。物理トポロジのシグネチャーは、物理ホスト、スイッチ、およびルータの物理的な接続方法や、それらのレイテンシーおよびユーティライゼーションといったリンク特性をキャプチャーする。

【0045】

特に、インフラストラクチャーシグネチャーをモデリングするために、手順2.1の物理トポロジ、手順2.2のインタースイッチレイテンシー(Inter-switch latency)、手順2.3のOpenFlowコントローラー特性(OpenFlow controller characterization)を使用することができる。

【0046】

手順2.1:物理トポロジ

10

【0047】

PacketInメッセージおよびPacketOutメッセージを基に、物理トポロジマップを作る。PacketInメッセージは、スイッチ、インGRESSポート、および他のパケットフィールドの情報を含んでいる。PacketOutメッセージは、送信に必要な出力ポートの情報を含んでいる。その後、その他のPacketInメッセージが次のスイッチから受信される。それによって、スイッチの物理的接続性をまとめ(stitch)、物理トポロジを構築するのに十分な情報が与えられる。

【0048】

手順2.2:インタースイッチレイテンシー

【0049】

20

インタースイッチレイテンシーは、データセンターにおける任意の2つのスイッチ間の遅延を測定する。フローテーブルにおけるエントリーに一致しないフローがスイッチに到着した場合、スイッチはPacketInメッセージをコントローラーに送信する。新たなフローについては、こうしたレポートが全てのスイッチによってパスに沿って(along)行われる。PFC(OpenFlowコントローラー)での受信メッセージのタイムスタンプを使用して、OFDiffは、インタースイッチレイテンシーを計算する。

【0050】

手順2.3:OpenFlowコントローラー特性

【0051】

OpenFlowコントローラーは、応答時間およびスループットの観点で特徴付けることができる。コントローラー応答時間を、コントローラーがPacketInメッセージに回答してPacketOutメッセージを返信するのに要する時間と定義する。コントローラー応答時間は、PacketInメッセージとそれに対応するPacketOutメッセージとの間のタイムスタンプの差分を取ることで測定される。効率的なスイッチングプロトコルおよびデータセンター通信については、この時間差を非常に小さくすることが望まれている。先のシグネチャーと同様に、コントローラー応答時間(CRT)シグネチャーとして、標準偏差と共に、応答時間の統計的な手段を使用する。

30

【0052】

手順3:タスクシグネチャーのモデリング オペレータータスクシーケンス

【0053】

40

タスクシグネチャーのゴールは、各オペレーションタスク(このタスクは、例えば、デバイスに取り付けられてサーバをリブートするVM(virtual machine)マイグレーションのような、データセンターにおける共通のタスクである)についてのフローの安定したシーケンスをキャプチャーし、それらをシーケンスオートマトンで表すことである。特定のタスクについてのタスクシグネチャーを計算するためのフローチャートを図6に示す。最初に、OFDiffは、ステップ602において、タスクについての複数のトレースTを収集し、ステップ604において、複数のトレースにわたって共通のフローパターンを見つける。次に、OFDiffは、ステップ606において、複数のトレースTにおける共通のフローのみを保持または保存する。ここで、T T'で、T'は共通フローを意味している。さらに、OFDiffは、ステップ608において、T'におけるシーケンシ

50

ャルな頻出パターン (sequential frequent patterns) を見つけ、ステップ 6 1 0 において、それらを長さの観点でソートする。同じ長さの場合は、O F D i f f は、ステップ 6 1 0 において、サポート値または最小サポート (min#sup) 値の観点でそれらをソートする。それから、O F D i f f は、ステップ 6 1 2 において、タスクオートマトンまたはタスクシグネチャーを構築する。

【 0 0 5 4 】

オペレータータスクシーケンスは、デバッグの精度を高めるが、デバッグ方法には必須 (compulsory) ではない点に注意すべきである。また、オペレータータスクシーケンスは、オペレーターまたはオペレーターのエージェントによって初期化されたネットワークオペレーションを検証するために、独立して使用することができる。

10

【 0 0 5 5 】

手順 4 : 検証変化 (Validating Changes)

【 0 0 5 6 】

図 7 を参照すると、先のセクションでモデルとの比較によって識別される変化は、アプリケーション層およびインフラストラクチャー層の双方において、既知の変化 (7 1 4) および未知の変化 (7 1 2) かどうかチェックされる。既知の変化 7 1 4 は、意図的に (intentionally) 終了した変化であり、システムにおける正当な (valid) オペレーションタスクによって説明することができる。既知の変化 (7 1 4) と未知の変化 (7 1 2) とを区別するために、タスクシグネチャーを使用する。タスクシグネチャーは、ステップ 7 0 8 において、与えられたログからタスクシーケンスを作る。ステップ 7 0 6 において、アプリケーションの変化が検出された場合、O F D i f f は、ステップ 7 1 0 において、タスクの時系列をチェックして、その変化が起きた同時刻付近の関連するオペレーショナルタスクを見つける。

20

【 0 0 5 7 】

ここで、図 7 の n は、未知の変化に関連するアプリケーションノードのリストであり、図 7 の e は、未知の変化に関連するアプリケーションフローのリストである。

【 0 0 5 8 】

手順 5 : デバッグ

【 0 0 5 9 】

デバッグは 2 つの手順を有する。手順 5 . 1 は、データセンターで発生し得る (possible) 問題クラスを見つけるという、問題クラスへの関連付けを含む。手順 5 . 2 は、データセンターで問題を生じさせる、問題または欠陥があるデータセンターの要素を見つけるという、システムコンテキストへの関連付けを含む。

30

【 0 0 6 0 】

手順 5 . 1 : 問題クラスへの関連付け

【 0 0 6 1 】

図 8 を参照すると、ステップ 8 0 2 において、与えられたログについて、アプリケーションシグネチャーの変化を検出すると、ステップ 8 0 4 において、インフラストラクチャーシグネチャーにおける関連する変化を計算し、ステップ 8 0 6 において、アプリケーションの変化とインフラストラクチャーの変化との依存性を関連付ける。その関連付けの出力を使用して、ステップ 8 0 8 において、現在のデータセンターの問題を、既知のクラスの 1 つに分類する。

40

【 0 0 6 2 】

この比較の前に、初期的に、関連マッピングテーブル (MT) を作る。MT は、ホスト障害、ホストパフォーマンス問題、ネットワーク切断などの異なる問題クラスに変化した、アプリケーションシグネチャーおよびそれに関連するインフラストラクチャーシグネチャーのマッピングを含む。例えば、幾つかのアプリケーションの遅延分布 (DD)、編相関 (PC) 値、およびフロー統計 (FS) が、関連するインタースイッチレイテンシーと共に変化した場合、ネットワークボトルネック問題クラス (network bottleneck problem class) の可能性がある。

50

【 0 0 6 3 】

手順 5 . 2 : システム要素への相関付け

【 0 0 6 4 】

図 9 を参照すると、ステップ 9 0 8 で問題クラス 9 0 2 から欠陥要素を検出するために、O F D i f f は、最初に、ステップ 9 0 4 において、インフラストラクチャーシグネチャーを使用して、リンクテーブル、スイッチテーブル、および P M (physical machine) テーブルという 3 つのテーブルを生成する。リンクテーブルは、アプリケーションレベルのフローを、そのフローが妨害する下層物理リンクのシーケンス (the sequence of underlying physical links that the flows traverse) にマッピングする。スイッチテーブルは、アプリケーションレベルのフローを、そのフローが妨害するスイッチのシーケンス (the sequence of switches the flows traverse) にマッピングし、最後に、P M テーブルは、アプリケーションプロセスを物理ホストにマッピングする。問題クラス 9 0 2 に依存して、ステップ 9 0 4 において、特定のテーブルが選択され、ステップ 9 0 6 において、その変化が、データセンターにおける特定の要素に相関付けられる。

10

【 0 0 6 5 】

手順 5 . 1 および 5 . 2 はデバッグ技術を上げる (scale) 。

【 0 0 6 6 】

O F D i f f は、複数の新規なシグネチャーモデリング技術の組み合わせを使用して、システム状況認識の達成およびトラブルシューティングに貢献する。それらのゴールは、O p e n F l o w 技術のユニークなライトウェイトセンシング (light-weight sensing) メカニズムを利用することによって達成されるが、提案技術の多くは、一般的であり、他のシステムにも適用可能である。特に、手順 3 のタスクシグネチャーのモデリングは、ネットワークフローを使用して、共通のデータセンターのタスクの特徴を作るためのメカニズムベースの教師あり学習 (supervised learning) であり、それらタスクをその後を検証するために、またデバッグにおける O F D i f f の一部として、独立して使用することができる。

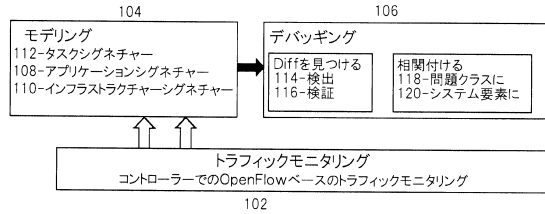
20

【 0 0 6 7 】

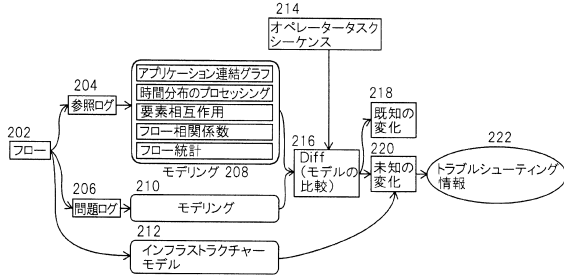
上記は、全ての点で具体的および典型的なものであって限定的なものではないと理解されるべきであり、ここで開示された発明の範囲は、「発明の詳細な説明」からではなく、むしろ特許法によって認められた十分な範囲によって解釈されるような請求項から判断されるべきである。ここで示され記載された実施形態は、本発明の原理の例示にすぎず、発明の範囲および精神から逸脱することなく、当業者が種々の変更を実行してもよいことを理解されるべきである。当業者は、本発明の範囲および精神から逸脱することなく、種々の他の特徴の組み合わせを実現することができる。

30

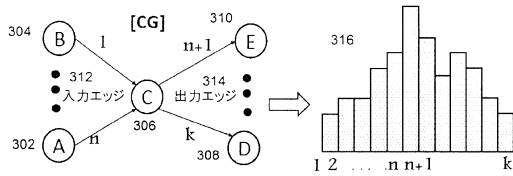
【図1】



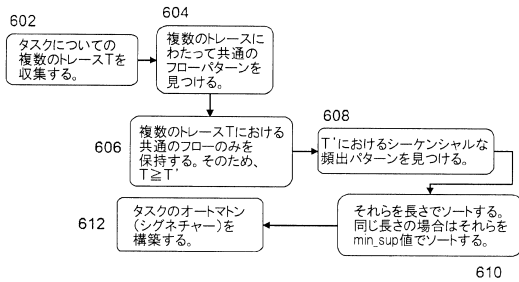
【図2】



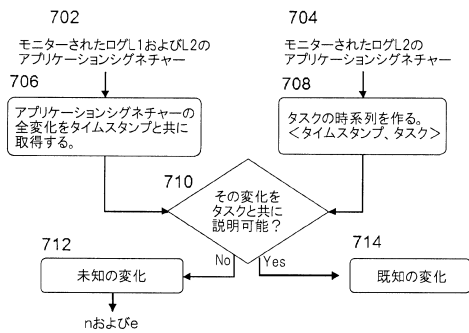
【図3】



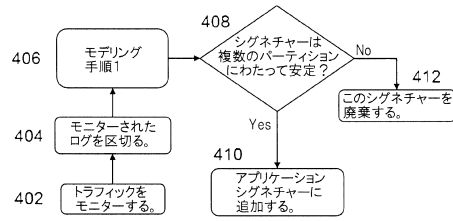
【図6】



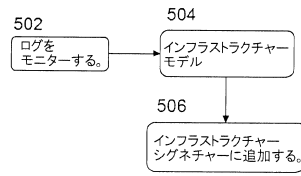
【図7】



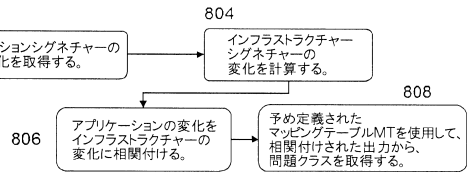
【図4】



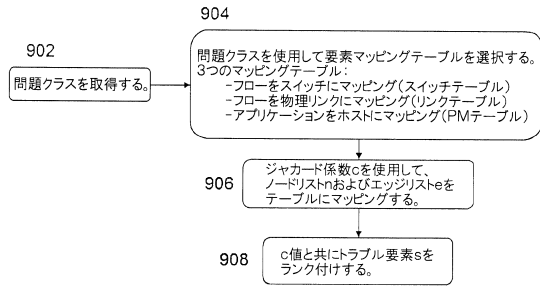
【図5】



【図8】



【図9】



フロントページの続き

- (72)発明者 ルメザヌ、 クリスティアン
アメリカ合衆国 08520 ニュージャージー州 イースト ウインザ ロック ラン ロード
25
- (72)発明者 ジアング、 グオフェイ
アメリカ合衆国 08540 ニュージャージー州 プリンストン ダンビー コート 5
- (72)発明者 ジヤング、 ユエピング
アメリカ合衆国 08540 ニュージャージー州 プリンストン ハーヴァード サークル 9
5
- (72)発明者 シング、 ヴィシャル
アメリカ合衆国 08540 ニュージャージー州 プリンストン ブルー スプリング ロード
602
- (72)発明者 アルフィン、 アフサン
アメリカ合衆国 61820 イリノイ州 シャンペイン エス. ファースト ストリート 5
08 アpartment 402

審査官 安藤 一道

- (56)参考文献 特開2008-022498(JP,A)
国際公開第2011/118574(WO,A1)
特開2005-346331(JP,A)
米国特許出願公開第2013/0185419(US,A1)
米国特許出願公開第2006/0029016(US,A1)
特開2009-169609(JP,A)
米国特許第7894357(US,B2)
米国特許第7916652(US,B1)
米国特許第7769851(US,B1)

(58)調査した分野(Int.Cl., DB名)

H04L 12/70
G06F 11/34
H04L 12/24
H04L 12/717